

T 348 N

Elektrische Eigenschaften

Höchstzulässige Werte

Periodische Vorwärts- und Rückwärts-Spitzensperrspannung
Vorwärts-Stoßspitzensperrspannung
Rückwärts-Stoßspitzensperrspannung

Electrical properties

Maximum rated values

repetitive peak forward off-state and reverse voltages
non-repetitive peak forward off-state voltage
non-repetitive peak reverse voltage

$t_{vj} = -40^{\circ}\text{C} \dots t_{vj \text{ max}}$	$V_{\text{DRM}}, V_{\text{RRM}}$	200 400 600	V
$t_{vj} = -40^{\circ}\text{C} \dots t_{vj \text{ max}}$	$V_{\text{DSM}} = V_{\text{DRM}}$	200 400 600	V
$t_{vj} = +25^{\circ}\text{C} \dots t_{vj \text{ max}}$	$V_{\text{RSM}} = V_{\text{RRM}}$	250 450 650	V
	I_{TRMSM}	600	A
	I_{TAVM}	348	A
		382	A
	I_{TSM}	4600	A
		4000	A
	$I^2 t$	106000	A ² s
		80000	A ² s
	$(di_T/dt)_{\text{cr}}$	200	A/μs
	$(dv/dt)_{\text{cr}}$	1000	V/μs

Durchlaßstrom-Grenzeffektivwert
Dauergrenzstrom

RMS on-state current
average on-state current

$t_c = 85^{\circ}\text{C}$
 $t_c = 77^{\circ}\text{C}$

Stoßstrom-Grenzwert

surge current

$t_{vj} = 25^{\circ}\text{C}, t_p = 10 \text{ ms}$
 $t_{vj} = t_{vj \text{ max}}, t_p = 10 \text{ ms}$

Grenzlastintegral

$I^2 t$ -value

$t_{vj} = 25^{\circ}\text{C}, t_p = 10 \text{ ms}$
 $t_{vj} = t_{vj \text{ max}}, t_p = 10 \text{ ms}$

Kritische Stromsteilheit

critical rate of rise of on-state current

$V_D \leq 67\%, V_{\text{DRM}}, f = 50 \text{ Hz}$
 $V_L = 10 \text{ V}, i_{\text{GM}} = 0,6 \text{ A}, di_G/dt = 0,6 \text{ A}/\mu\text{s}$

Kritische Spannungssteilheit

critical rate of rise of off-state voltage

$t_{vj} = t_{vj \text{ max}}, V_D = 67\% V_{\text{DRM}}$

Charakteristische Werte

Durchlaßspannung
Schleusenspannung
Ersatzwiderstand
Zündstrom
Zündspannung
Nicht zündender Steuerstrom
Nicht zündende Steuerspannung
Haltestrom
Einraststrom

Characteristic values

on-state voltage
threshold voltage
slope resistance
gate trigger current
gate trigger voltage
gate non-trigger current
gate non-trigger voltage
holding current
latching current

$t_{vj} = t_{vj \text{ max}}, I_T = 1100 \text{ A}$
 $t_{vj} = t_{vj \text{ max}}$
 $t_{vj} = t_{vj \text{ max}}$
 $t_{vj} = 25^{\circ}\text{C}, V_D = 6 \text{ V}$
 $t_{vj} = 25^{\circ}\text{C}, V_D = 6 \text{ V}$
 $t_{vj} = t_{vj \text{ max}}, V_D = 6 \text{ V}$
 $t_{vj} = t_{vj \text{ max}}, V_D = 0,5 V_{\text{DRM}}$
 $t_{vj} = 25^{\circ}\text{C}, V_D = 6 \text{ V}, R_{\text{GK}} \geq 10 \Omega$
 $t_{vj} = 25^{\circ}\text{C}, V_D = 6 \text{ V}, R_{\text{GK}} \geq 10 \Omega$
 $i_{\text{GM}} = 0,6 \text{ A}, di_G/dt = 0,6 \text{ A}/\mu\text{s}, t_g = 20 \mu\text{s}$

v_T	max. 1,92	V
$V_{\text{T(TO)}}$	1	V
r_T	0,7	mΩ
I_{GT}	max. 150	mA
V_{GT}	max. 2	V
I_{GD}	max. 10	mA
V_{GD}	max. 0,25	V
I_{H}	max. 200	mA
I_{L}	max. 800	mA

Vorwärts- und Rückwärts-Sperrstrom
Zündverzögerung
Freiwerdzeit

forward off-state and reverse currents
gate controlled delay time
circuit commutated turn-off time

$t_{vj} = t_{vj \text{ max}}, V_D = V_{\text{DRM}}, V_R = V_{\text{RRM}}$
 $t_{vj} = 25^{\circ}\text{C}, i_{\text{GM}} = 0,6 \text{ A}, di_G/dt = 0,6 \text{ A}/\mu\text{s}$
siehe Techn.Erl./see Techn. Inf.

i_D, I_R	max. 20	mA
t_{gd}	max. 3	μs
t_q	typ. 200	μs

Thermische Eigenschaften

Innerer Wärmewiderstand für beidseitige Kühlung
für anodenseitige Kühlung
für kathodenseitige Kühlung
Übergangs-Wärmewiderstand
Höchstzul. Sperrschichttemperatur
Betriebstemperatur
Lagertemperatur

Thermal properties

thermal resistance, junction to case for two-sided cooling
for anode-sided cooling
for cathode-sided cooling
thermal resistance, case to heatsink
max. junction temperature
operating temperature
storage temperature

$\Theta = 180^{\circ} \text{ el, sin}$
DC
 $\Theta = 180^{\circ} \text{ el, sin}$
DC
 $\Theta = 180^{\circ} \text{ el, sin}$
DC

R_{thJC}	max. 0,1	°C/W
	max. 0,092	°C/W
$R_{\text{thJC(A)}}$	max. 0,18	°C/W
	max. 0,17	°C/W
$R_{\text{thJC(K)}}$	max. 0,213	°C/W
	max. 0,205	°C/W
R_{thCK}	max. 0,015	°C/W
	max. 0,03	°C/W
$t_{vj \text{ max}}$	140	°C
$t_{c \text{ op}}$	-40...+140	°C
t_{stg}	-40...+140	°C

Mechanische Eigenschaften

Si-Elemente mit Druckkontakt
Anpreßkraft
Gewicht
Kriechstrecke
Feuchtklasse
Schwingfestigkeit
Maßbild, anliegend

Mechanical properties

Si-pellet with pressure contact
clamping force
weight
creepage distance
humidity classification
vibration resistance
outline, attached

F	2,5..5	kN
G	typ. 70	g
	17	mm
DIN 40040		C
f = 50 Hz	50	m/s ²
DIN 41814-151 A4		

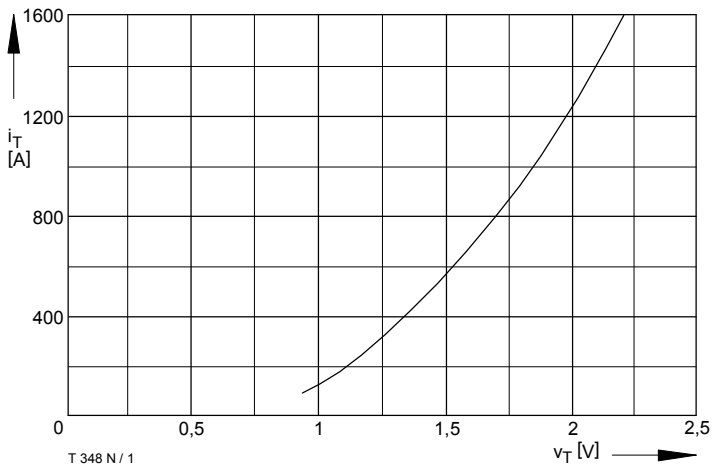


Bild / Fig. 1
Grenzdurchlaßkennlinie / Limiting on-state characteristic
 $i_T = f(v_T)$, $t_{vj} = t_{vj \text{ max}}$

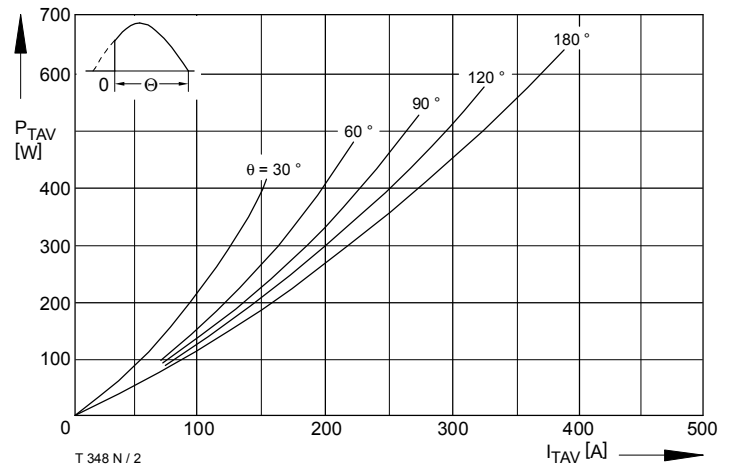


Bild / Fig. 2
Durchlaßverlustleistung / On-state power loss $P_{TAV} = f(I_{TAV})$
Parameter: Stromflußwinkel / Current conduction angle θ

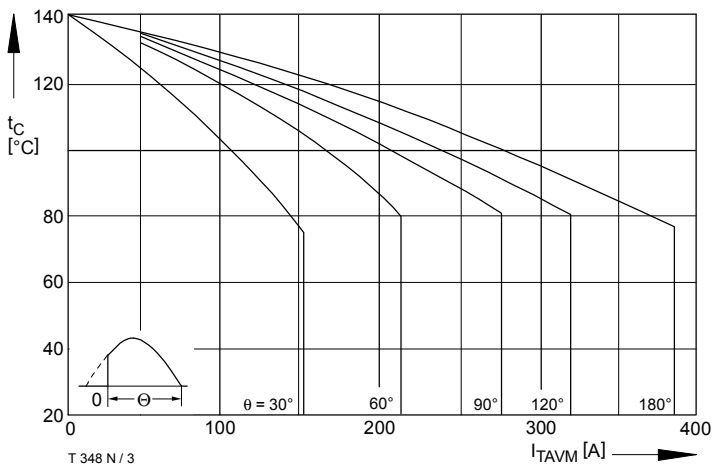


Bild / Fig. 3
Höchstzulässige Gehäusetemperatur / Max. allowable case temperature
 $t_C = f(I_{TAVM})$
Beidseitige Kühlung / Two-sided cooling
Parameter: Stromflußwinkel / Current conduction angle θ

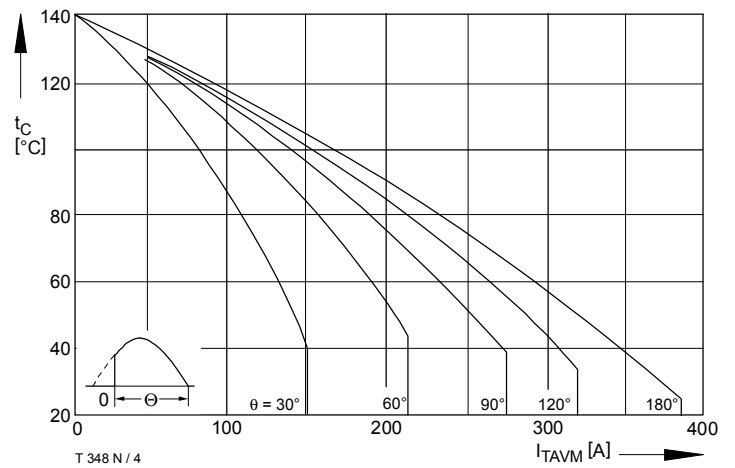


Bild / Fig. 4
Höchstzulässige Gehäusetemperatur / Max. allowable case temperature
 $t_C = f(I_{TAVM})$
Anodenseitige Kühlung / Anode-sided cooling
Parameter: Stromflußwinkel / Current conduction angle θ

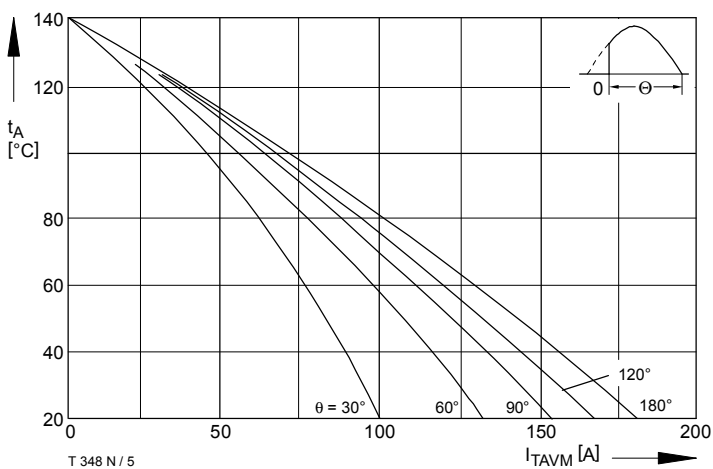


Bild / Fig. 5
Höchstzulässige Kühlmitteltemperatur / Max. allowable cooling medium temperature $t_A = f(I_{TAVM})$
Luftselbstkühlung / Natural air cooling
Kühlkörper / Heatsink: KO.36S
Parameter: Stromflußwinkel / Current conduction angle θ

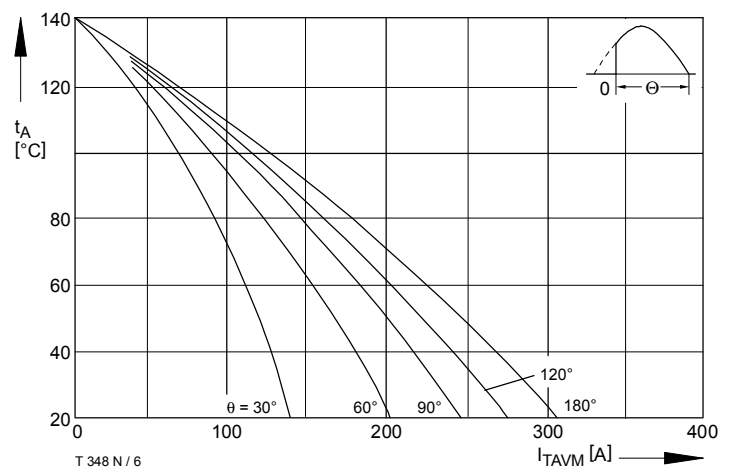


Bild / Fig. 6
Höchstzulässige Kühlmitteltemperatur / Max. allowable cooling medium temperature $t_A = f(I_{TAVM})$
Verstärkte Luftkühlung / Forced air cooling
Kühlkörper / Heatsink: KO.12F, $V_L = 50$ l/s
Parameter: Stromflußwinkel / Current conduction angle θ

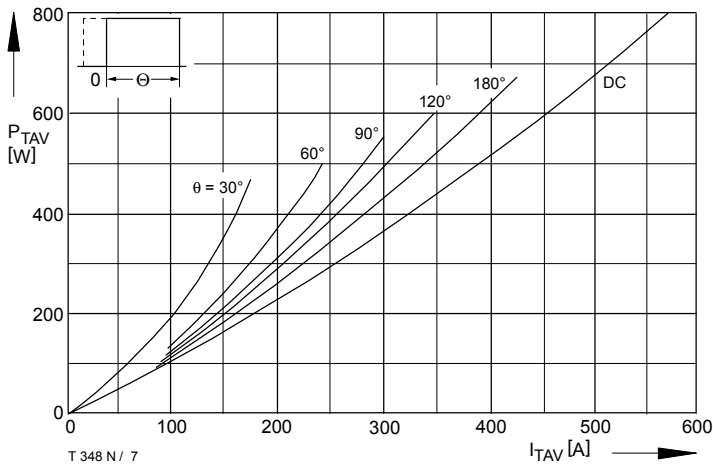


Bild / Fig. 7
 Durchlaßverlustleistung / On-state power loss $P_{TAV} = f(I_{TAV})$
 Parameter: Stromflußwinkel / Current conduction angle θ

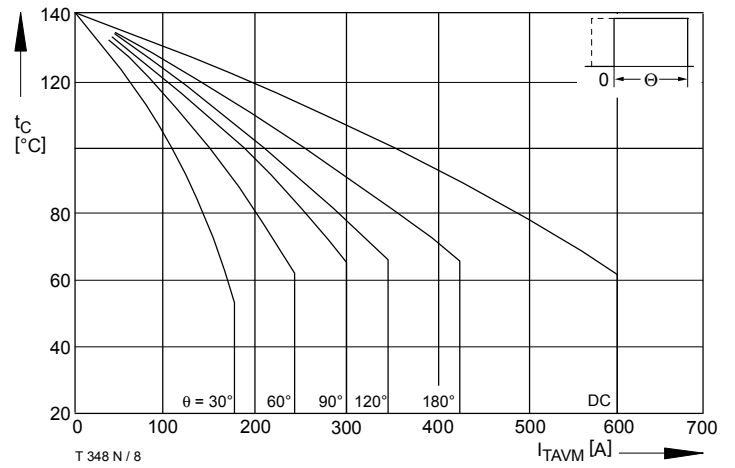


Bild / Fig. 8
 Höchstzulässige Gehäusetemperatur / Max. allowable case temperature
 $t_C = f(I_{TAVM})$
 Beidseitige Kühlung / Two-sided cooling
 Parameter: Stromflußwinkel / Current conduction angle θ

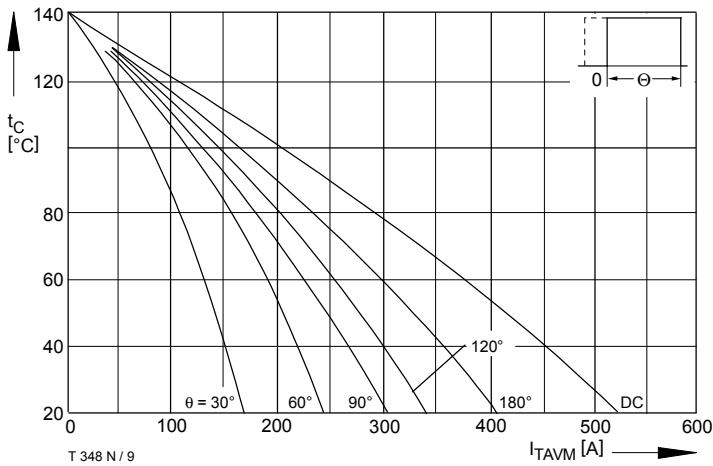


Bild / Fig. 9
 Höchstzulässige Gehäusetemperatur / Max. allowable case temperature
 $t_C = f(I_{TAVM})$
 Anodenseitige Kühlung / Anode-sided cooling
 Parameter: Stromflußwinkel / Current conduction angle θ

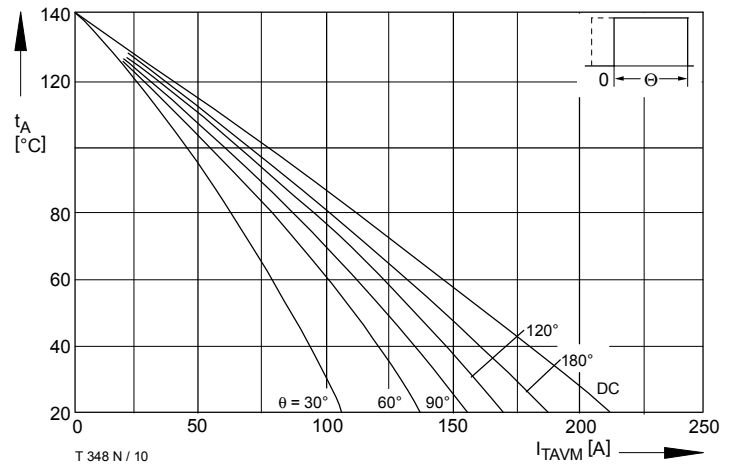


Bild / Fig. 10
 Höchstzulässige Kühlmitteltemperatur / Max. allowable cooling medium temperature $t_A = f(I_{TAVM})$
 Luftselbstkühlung / Natural air-cooling
 Kühlkörper / Heatsink: K0.36S
 Parameter: Stromflußwinkel / Current conduction angle θ

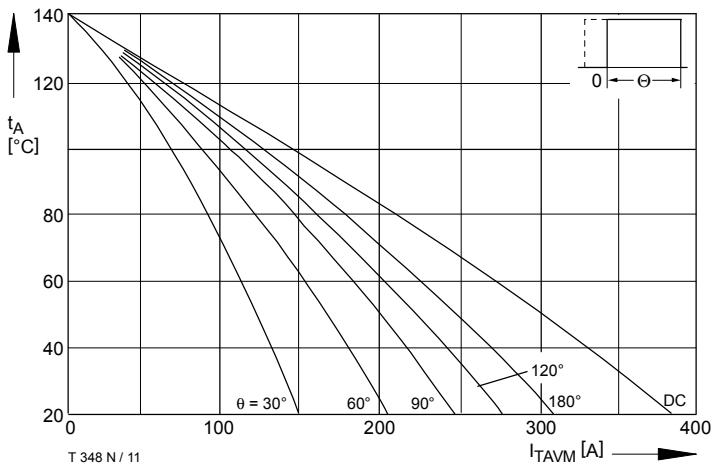


Bild / Fig. 11
 Höchstzulässige Kühlmitteltemperatur / Max. allowable cooling medium temperature $t_A = f(I_{TAVM})$
 Verstärkte Luftkühlung / forced air cooling
 Kühlkörper / Heatsink: K0.12F, $V_L = 50$ l/s
 Parameter: Stromflußwinkel / Current conduction angle θ

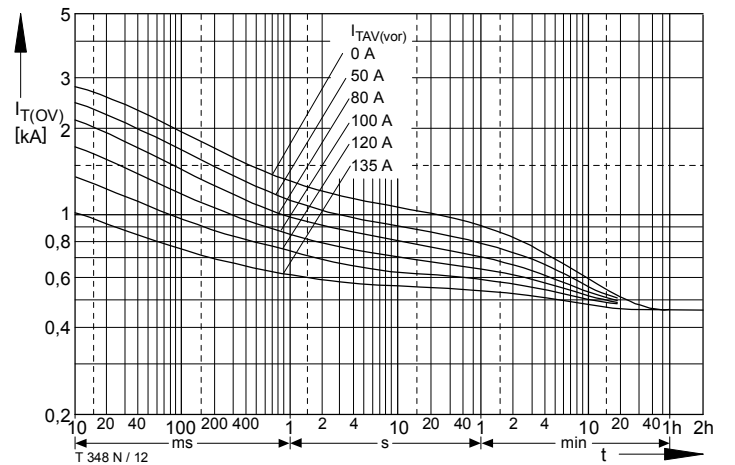


Bild / Fig. 12
 Überstrom / Overload on-state current $I_{T(OV)} = f(t)$
 Luftselbstkühlung / Natural air-cooling $t_A = 45^\circ\text{C}$
 Kühlkörper / Heatsink: K0.36S
 Parameter: Vorlaststrom / Pre-load current $I_{TAV(vor)}$

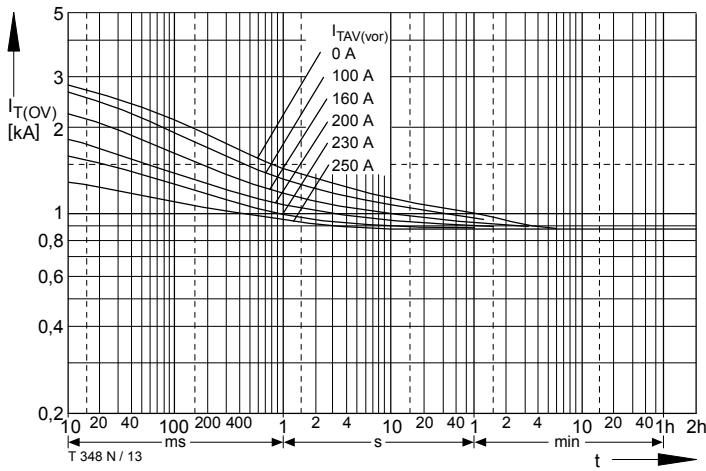


Bild / Fig. 13
 Überstrom / Overload on-state current $I_{T(OV)} = f(t)$
 Verstärkte Luftkühlung / Forced air-cooling, $t_A = 35^\circ\text{C}$
 Kühlkörper / Heatsink: K0.12F, $V_L = 50 \text{ l/s}$
 Parameter: Vorlaststrom / Pre-load current $I_{TAV(vor)}$

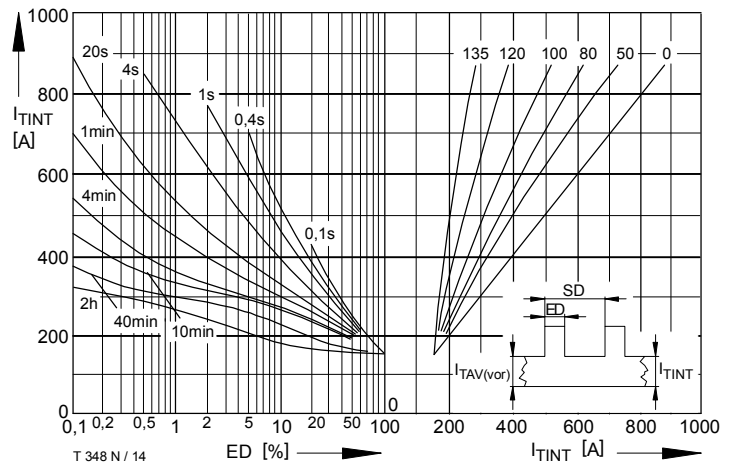


Bild / Fig. 14
 Höchstzulässiger Durchlaßstrom bei Aussetzbetrieb / Max. allowable on-state current at intermittent operation $I_{TINT} = f(ED)$
 Luftselbstkühlung / Natural air-cooling, $t_A = 45^\circ\text{C}$
 Kühlkörper / Heatsink: K0.36S
 Parameter: Spieldauer / Cycle duration SD
 Vorlaststrom / Pre-load current $I_{TAV(vor)}$

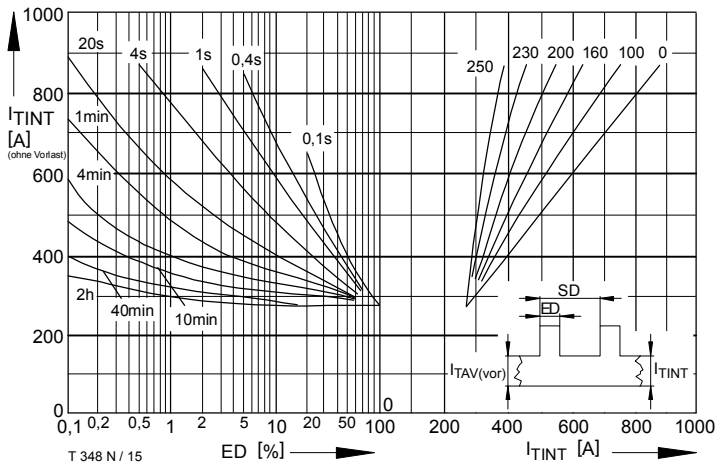


Bild / Fig. 15
 Höchstzulässiger Durchlaßstrom bei Aussetzbetrieb / Max. allowable on-state current at intermittent operation $I_{TINT} = f(ED)$
 Verstärkte Luftkühlung / Forced air-cooling, $t_A = 35^\circ\text{C}$
 Kühlkörper / Heatsink: K0.12F, $V_L = 50 \text{ l/s}$
 Parameter: Spieldauer / Cycle duration SD
 Vorlaststrom / Pre-load current $I_{TAV(vor)}$

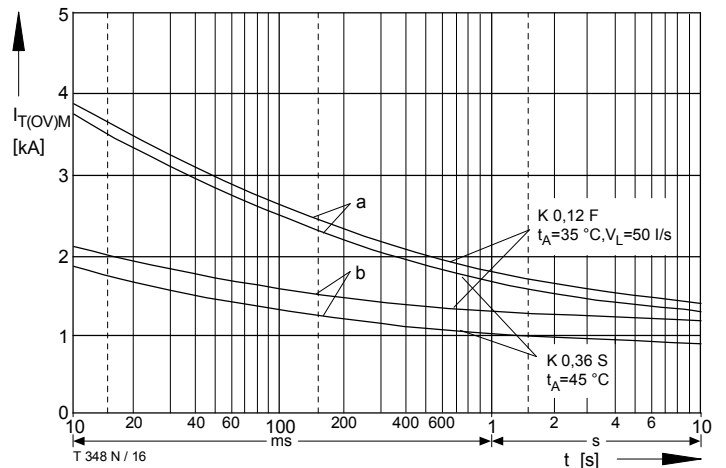


Bild / Fig. 16
 Grenzstrom / Max. overload on-state current $I_{T(OV)M} = f(t)$, $v_{RM} = 0,8 V_{RRM}$
 Beidseitige Kühlung / Two-sided cooling
 Kühlkörper / Heatsink: K0.36S, K0.12F
 Belastung aus / Surge current occurs:
 a - Leerlauf / No-load conditions
 b - Betrieb mit Dauergrenzstrom / During operation at max. average on-state current I_{TAVM}

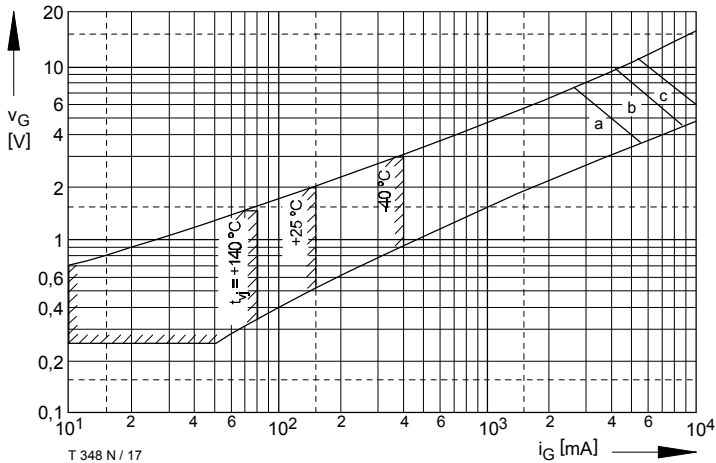


Bild / Fig. 17
 Steuercharakteristik mit Zündbereichen / Gate characteristic with triggering areas $V_G = f(i_G)$, $V_D = 6 \text{ V}$
 Parameter:

	a	b	c
Steuerimpulsdauer / trigger puls duration t_g [ms]	10	1	0,5
Höchstzulässige Spitzensteuerverlustleistung / Max. rated peak gate power dissipation [W]	20	40	60

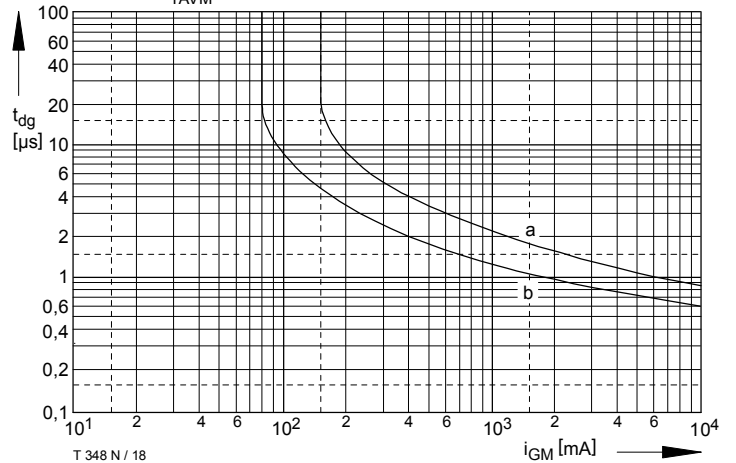


Bild / Fig. 18
 Zündverzug / Gate controlled delay time $t_{gd} = f(i_{GM})$
 $t_{vj} = 25^\circ\text{C}$, $di_G/dt = i_{GM}/1\mu\text{s}$
 a - Maximaler Verlauf / Limiting characteristic
 b - Typischer Verlauf / Typical characteristic

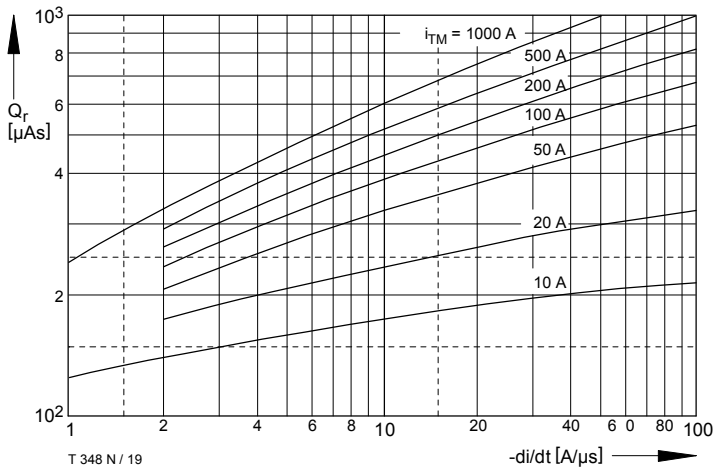


Bild / Fig. 19
 Sperrverzögerungsladung / Recovered charge $Q_r = f(di/dt)$
 $t_{vj} = t_{vj, \text{max}}$; $V_R = 0,5 V_{RRM}$; $V_{RM} = 0,8 V_{RRM}$
 Parameter: Durchlaßstrom / On-state current i_{TM}

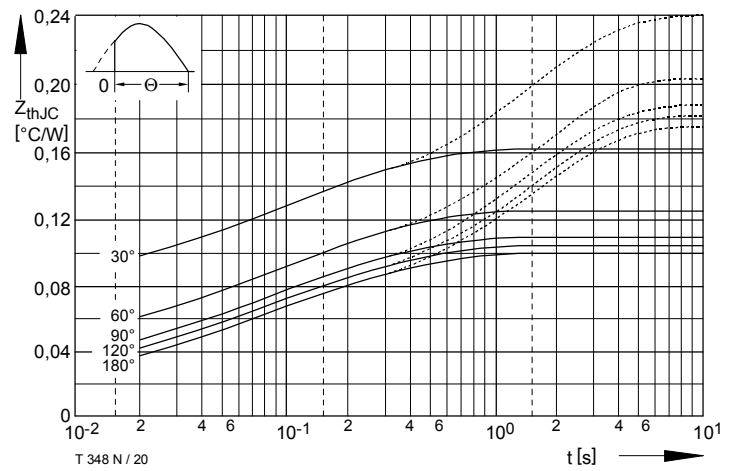


Bild / Fig. 20
 Transienter innerer Wärmewiderstand / Transient thermal impedance
 $Z_{thJC} = f(t)$
 ----- Anodenseitige Kühlung / Anode-sided cooling
 ————— Beidseitige Kühlung / Two-sided cooling
 Parameter: Stromflußwinkel / current conduction angle θ

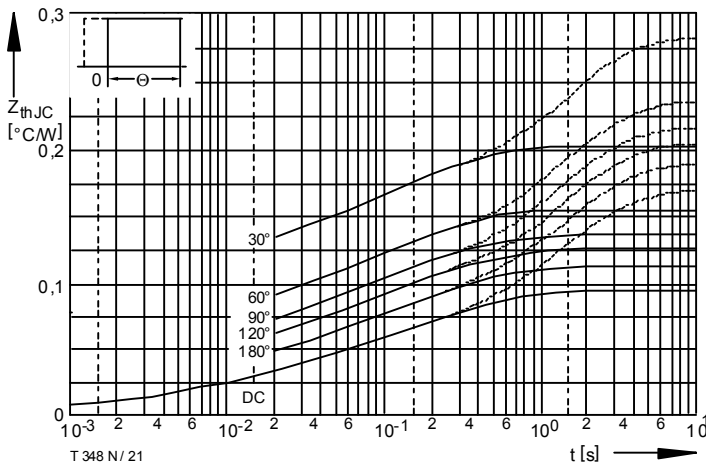


Bild / Fig. 21
 Transienter innerer Wärmewiderstand / Transient thermal impedance
 $Z_{thJC} = f(t)$
 ----- Anodenseitige Kühlung / Anode-sided cooling
 ————— Beidseitige Kühlung / Two-sided cooling
 Parameter: Stromflußwinkel / current conduction angle θ

Analytische Elemente des transienten Wärmewiderstandes Z_{thJC} pro Zweig für DC
 Analytical elements of transient thermal impedance Z_{thJC} per arm for DC

Beidseitig / Two-sided

Pos. n	1	2	3	4	5
R_{thn} [$^{\circ}\text{C}/\text{W}$]	0,00438	0,0048	0,01073	0,03436	0,03807
τ_n [s]	0,00040	0,0014	0,00685	0,0544	0,325

Anodenseitig / Anode-sided

Pos. n	1	2	3	4	5
R_{thn} [$^{\circ}\text{C}/\text{W}$]	0,00438	0,0048	0,01073	0,03936	0,11073
τ_n [s]	0,00040	0,0014	0,00685	0,0544	1,57

Kathodenseitig / Cathode-sided

Pos. n	1	2	3	4	5
R_{thn} [$^{\circ}\text{C}/\text{W}$]	0,00438	0,0048	0,01073	0,03557	0,14952
τ_n [s]	0,00040	0,0014	0,00685	0,0544	1,462

Analytische Funktion / Analytical function:

$$Z_{thJC} = \sum_{n=1}^{n_{\text{max}}} R_{thn} (1 - e^{-\frac{t}{\tau_n}})$$